

Darstellung und Eigenschaften von und Reaktionen mit metallhaltigen Heterocyclen, VIII<sup>1)</sup>

## Schwefeldioxid- und Kohlenmonoxid-Einschiebungsreaktionen in die Metall-Kohlenstoff- $\sigma$ -Bindung von Metallacycloalkanen

*Ekkehard Lindner\*, Günter von Au, Hans-Jürgen Eberle und Sigurd Hoehne*

Institut für Anorganische Chemie der Universität Tübingen,  
Auf der Morgenstelle 18, D-7400 Tübingen 1

Eingegangen am 7. Mai 1981

Das Manganacyclohexan-Derivat  $(OC)_4MnP(CH_3)_2OCH_2C(CH_3)_2CH_2$  (**1a**) erhält man durch nucleophile Eliminierungscycloaddition aus  $(F_3CSO_2OCH_2)_2C(CH_3)_2$  und  $Na_2[(OC)_4MnP(CH_3)_2O]$  in DME. Bei  $-40^\circ C$  nehmen die analogen Verbindungen  $(OC)_4MPPPh_2OCH_2C(CH_3)_2CH_2$  (**1a'**, **1b'**) [ $M = Mn$  (**a'**),  $Re$  (**b'**)]  $SO_2$  auf und gehen in die cyclischen Sulfinato-S-Komplexe  $(OC)_4MPPPh_2OCH_2C(CH_3)_2CH_2SO_2$  (**2a'**, **2b'**) über. **1a'**, **2b'** kristallisieren triklin in der Raumgruppe  $P\bar{1}$  mit  $Z = 2$  bzw. 4. Die  $AlBr_3$ -unterstützte CO-Insertion in die  $Re - C - \sigma$ -Bindung von **1b'** führt über das Addukt  $(OC)_4RePPh_2OCH_2C(CH_3)_2CH_2 \cdot AlBr_3$  (**3b'**) zum cyclischen Keton  $(OC)_4RePPh_2OCH_2C(CH_3)_2CH_2CO$  (**4b'**).

### Preparation and Properties of, and Reactions with, Metal-Containing Heterocycles, VIII<sup>1)</sup> Sulfur Dioxide and Carbon Monoxide Insertion Reactions into the Metal-Carbon $\sigma$ -Bond of Metallacycloalkanes

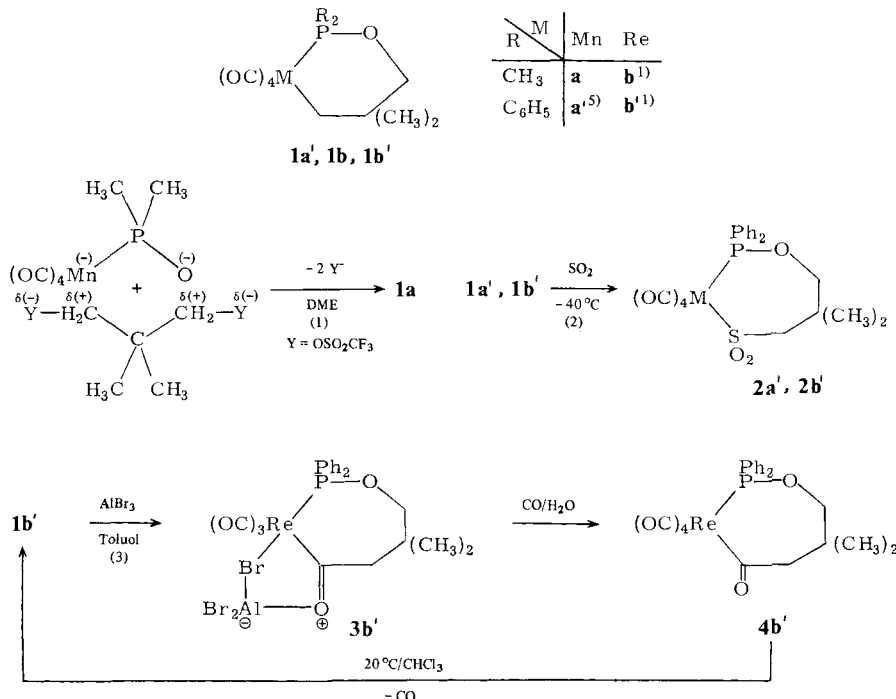
The manganacyclohexane derivative  $(OC)_4MnP(CH_3)_2OCH_2C(CH_3)_2CH_2$  (**1a**) is obtained by nucleophilic elimination-cycloaddition from  $(F_3CSO_2OCH_2)_2C(CH_3)_2$  and  $Na_2[(OC)_4MnP(CH_3)_2O]$  in DME. At  $-40^\circ C$  the analogous compounds  $(OC)_4MPPPh_2OCH_2C(CH_3)_2CH_2$  (**1a'**, **1b'**) [ $M = Mn$  (**a'**),  $Re$  (**b'**)] take up  $SO_2$  and change into the cyclic sulfinate-S complexes  $(OC)_4MPPPh_2OCH_2C(CH_3)_2SO_2$  (**2a'**, **2b'**). **1a'**, **2b'** give triclinic crystals which belong to the space group  $P\bar{1}$  with  $Z = 2$  and 4, respectively. The  $AlBr_3$  supported CO insertion into the  $Re - C - \sigma$ -bond of **1b'** results in the formation of the cyclic ketone  $(OC)_4RePPh_2OCH_2C(CH_3)_2CH_2CO$  (**4b'**) via the adduct  $(OC)_4RePPh_2OCH_2C(CH_3)_2CH_2 \cdot AlBr_3$  (**3b'**).

Durch eine zweistufige Reduktion der Chalkogenophosphinigsäure-Komplexe  $(OC)_4BrMnPR_2OH$  ( $R = CH_3, C_6H_5$ ) und anschließende Umsetzung der dabei gebildeten Anionen  $[(OC)_4MnPR_2O]^{2-}$  mit Alkandiybis(trifluormethansulfonaten)<sup>3)</sup> gelangt man zu neuartigen Manganacycloalkanen<sup>4–6)</sup>. Über eine heterolytische Spaltung der  $Re - Re$ -Bindung in den anionischen Zweikernkomplexen  $Na_2[(OC)_4RePR_2O]_2$  ( $R = CH_3, C_6H_5$ )<sup>2)</sup> sind auch die entsprechenden Rhencacycloaliphaten zugänglich<sup>1,7,8)</sup>. Eine charakteristische Reaktionsweise der Metall-Kohlenstoff- $\sigma$ -Bindung ist deren Spaltung mit  $SO_2$  oder CO. Die Einschiebung von Schwefeldioxid stellt ein gut untersuchtes Beispiel für einen elektrophilen Angriff an der  $M - C - \sigma$ -Bindung dar<sup>9,10)</sup>. Mechanistische Untersuchungen haben ergeben, daß auch bei Metallkomplexen mit niedriger formaler Oxidationszahl des Zentralatoms primär ein O-Sulfinat gebildet wird, das sich zum entsprechenden S-Sulfinat isomerisiert<sup>11,12)</sup>. Nur wenige diesbezügliche Insertionen sind an Metallacycloalkanen

bekannt<sup>13)</sup>. Ein völlig anderer Mechanismus liegt bei der „CO-Insertion“ vor<sup>14,15)</sup>, welche in der organischen Synthese, insbesondere bei der Hydroformylierung von Olefinen<sup>16)</sup> eine wichtige Rolle spielt. Solche Einschiebungsreaktionen sind bei Organorhenium-Carbonylverbindungen<sup>17)</sup> bisher nur in einem Fall beschrieben<sup>18)</sup>. Günstige Bedingungen hierfür ergeben sich durch eine von uns kürzlich berichtete Synthese von sechsgliedrigen Rhenacycloalkanen<sup>1)</sup>.

## Resultate und Diskussion

Im Rahmen unserer Untersuchungen über Heterocyclen mit Metall-Kohlenstoff- $\sigma$ -Bindung gelang vor kurzem auch die Darstellung von Metallacycloalkanen des Typs **1**.



Das bislang noch unbekannte, farblose, im Hochvakuum sublimierbare Mangana-cyclohexan **1a** erhält man analog Lit.<sup>5)</sup> aus  $Na_2[(OC)_4MnP(CH_3)_2O]$  und  $(F_3CSO_2OCH_2)_2C(CH_3)_2$  [Gl. (1)]. Bezüglich seiner Eigenschaften ist es den schon bekannten Manganacycloalkanen  $(OC)_4MnP(CH_3)_2O[CH_2]_n$  ( $n = 3,4$ ) in jeder Hinsicht an die Seite zu stellen<sup>6)</sup>.

Die Metall-Kohlenstoff- $\sigma$ -Bindung in den Mangana- und Rhenacycloaliphaten erweist sich als sehr reaktiv. Bereits bei  $-40^\circ C$  wird analog zu  $\sigma$ -Alkylkomplexen<sup>10,19)</sup> in  $(OC)_4MPPh_2OCH_2C(CH_3)_2CH_2$  (**1a'**, **1b'**) quantitativ  $SO_2$  eingeschoben [Gl. (2)]. Die farblosen, ringerweiterten Verbindungen **2a'**, **2b'** lösen sich nur in polaren organischen Solventien.

Die Einschiebung von CO in **1b'** gelingt selbst bis  $100^\circ C$  und 800 bar nicht. Aktiviert man jedoch metallkoordiniertes Kohlenoxid in **1b'** mit einer Lewis-Säure wie  $AlBr_3$ <sup>20)</sup>,

so erhält man in Toluol das farblose, extrem feuchtigkeits- und sauerstoffempfindliche Addukt **3b'**, welches drucklos bei 20°C CO aufnimmt und bei der anschließenden Hydrolyse in das ringerweiterte, farblose, thermisch labile Insertionsprodukt **4b'** übergeht [Gl. (3)]. Bei dieser Umsetzung handelt es sich um die erste CO-Einschiebung in eine Re – C- $\sigma$ -Bindung mit sp<sup>3</sup>-hybridisiertem Kohlenstoff. Über eine entsprechende Reaktion mit sp<sup>2</sup>-hybridisiertem Kohlenstoff berichteten Kaesz et al.<sup>18)</sup> bereits zu einem früheren Zeitpunkt. Die beträchtliche Ausbeuteverminderung von **4b'** im Vergleich zum entsprechenden Mangan-Derivat ( $OC_4MnPPh_2OCH_2CH_2CH_2CO$ )<sup>5)</sup> kann mit einem Lewis-Säure unterstützten Angriff von Br<sup>-</sup> an der Metall-Acyl-Bindung unter Bildung bromierter Komplexe erklärt werden<sup>21)</sup>. In Lösung spaltet **4b'** bereits bei 20°C CO ab.

Die IR-Spektren (vgl. Tab. 1) von **1a**, **2a'**, **2b'** und **4b'** sind im 5 $\mu$ -Bereich durch je vier scharfe CO-Banden gekennzeichnet, wobei diejenigen von **2a'**, **2b'** und **4b'** erwartungsgemäß nach höheren Frequenzen verschoben sind<sup>10,14)</sup>. Für das Vorliegen von POC-Bindungen sprechen Absorptionen zwischen 1020 und 1040 cm<sup>-1</sup>. **3b'** zeigt mit drei gut aufgelösten Maxima das typische Muster einer  $Re(CO)_3$ -Stufe. Zusätzlich tritt eine erheblich langwellig verschobene Bande auf, die v<sub>as</sub>(C – O – Al) zugeordnet wird. Für die Existenz von v(>C = O) in **4b'** spricht eine intensive Absorption bei 1608 cm<sup>-1</sup>. Die antisymmetrischen und symmetrischen SO<sub>2</sub>-Valenzschwingungen in den Spektren von **2a'**, **2b'** liegen im für Sulfinito-S-Komplexe typischen Bereich<sup>9,10)</sup>.

Tab. 1. v(C – O)-, v(SO<sub>2</sub>)-, v<sub>as</sub>(POC)- und v(>C = O)-Schwingungen (cm<sup>-1</sup>) in den IR-Spektren von **1a**, **2a'**, **b'**, **3b'** und **4b'**

<b>1a</b>	<b>2a'</b>	<b>2b'</b>	Zuordnung
2058 m <sup>a)</sup>	2098 m <sup>c)</sup>	2113 m <sup>e)</sup>	v(C – O)
1991 st	2043 st	2046 m	
1970 sst	2022 sst	2020 sst	
1945 st	1987 st	1979 st	
	1173 m <sup>d)</sup>	1161 m <sup>d)</sup>	v <sub>as</sub> (SO <sub>2</sub> )
1022 m <sup>b)</sup>	1048 m	1046 m	v <sub>s</sub> (SO <sub>2</sub> )
	1032 s	1028 st	v <sub>as</sub> (POC)
<b>3b'</b>	<b>4b'</b>	Zuordnung	
2048 sst <sup>f)</sup>	2111 m <sup>g)</sup>	v(C – O)	
1986 sst	2021 sch		
1920 sst	2015 sst		
	1952 st		
1393 m <sup>h)</sup>	1608 st <sup>g)</sup>	v(>C = O)	

<sup>a)</sup> n-Hexan. – <sup>b)</sup> Film. – <sup>c)</sup> CHCl<sub>3</sub>/CCl<sub>4</sub> (1 : 1). – <sup>d)</sup> KBr. – <sup>e)</sup> CCl<sub>4</sub>. – <sup>f)</sup> Toluol. – <sup>g)</sup> CHCl<sub>3</sub>.

Im <sup>1</sup>H-NMR-Spektrum von **1a** sind die zwei Signale der metall- bzw. sauerstoffbenachbarten CH<sub>2</sub>-Protonen infolge <sup>31</sup>P-Kopplung zu je einem Dublett aufgespalten. Bei **2a'** wird die <sup>31</sup>P-<sup>1</sup>H-Kopplung der ursprünglich metallbenachbarten Methylenprotonen durch die SO<sub>2</sub>-Einschiebung aufgehoben, während im rheniumhaltigen Heterocyclus **2b'** noch eine Kopplung über vier Bindungen (P – Re – S – C – H) zu beobachten ist.

### Beschreibung der Strukturen von **1a'** und **2b'**\*)

**1a'** und **2b'** bestehen aus einem  $M(CO)_4$ -Rest ( $M = Mn, Re$ ), an den eine  $P(C_6H_5)_2O$ -Gruppe gebunden ist (vgl. Abb. 1). Geschlossen werden der verzerrt sesselförmige Sechsring **1a'**, welcher mit  $(OC)_4ReP(C_6H_5)_2OCH_2C(CH_3)_2CH_2$  (**1b'**) isomorph<sup>1)</sup> ist, und der siebgliedrige Ring **2b'** durch drei aliphatische C-Atome, von denen das mittlere zwei Methylgruppen trägt, **2b'** zusätzlich durch eine  $S(O_2)$ -Gruppe.

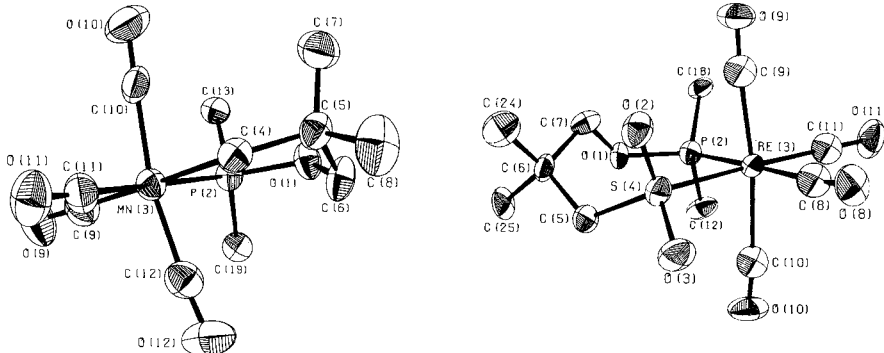


Abb. 1. ORTEP-Bilder von **1a'** (links) und **2b'** (rechts, Molekül **B**). Die Atome im Molekül **A** von **2b'** sind analog beziffert (vgl. Tab. 2). Die thermischen Schwingungsellipsoide entsprechen 50% Aufenthaltswahrscheinlichkeit

Von der durch O(1), P(2), C(4) und C(5) gebildeten Ebene ist C(6) 70 pm entfernt, während sich Mangan mit nur 1 pm Abweichung noch fast in dieser Ebene befindet. In Übereinstimmung damit betragen die Interplanarwinkel 118.6° und 177.8°. Die Mn – C- $\sigma$ -Bindung in **1a'** ist länger als in Pentacarbonyl(methyl)mangan<sup>22)</sup> und vergleichbar mit derjenigen in  $(OC)_4MnPPh_2OCH_2CH_2CH_2$ <sup>3)</sup>. Erwartungsgemäß ist die hierzu *trans*-ständige Mn(3) – C(9)-Bindung kürzer als die anderen Mn – CO-Abstände (vgl. Tab. 2).

In **2b'** enthält eine asymmetrische Einheit zwei Moleküle, die sich in ihren geometrischen Abmessungen nur geringfügig unterscheiden. O(1), P(2), Re(3), S(4) und C(6) liegen ungefähr in einer Ebene, von der C(5) und C(7) ca. 80 bzw. 87 pm nach verschiedenen Seiten abweichen, um eine weitere Vergrößerung ihrer Bindungswinkel zu vermeiden.

Die durch die Einschiebung von  $SO_2$  in die Re – C- $\sigma$ -Bindung von **1b'** verursachte Ringexpansion geht, wie in anderen Fällen auch<sup>6)</sup>, mit einer teilweisen Verlängerung der Bindungen im Heterocyclus einher. Während der P – Re-Abstand gegenüber vergleichbaren Komplexen<sup>23,24)</sup> noch relativ kurz ist, übersteigt derjenige zwischen Rhenium und Schwefel die Summe der Kovalenzradien<sup>25)</sup>. Die Raumbeanspruchung des  $Re(CO)_4$ -Restes und der verringerte S = O- $\pi$ -Bindungsanteil bewirken eine Verengung des O – S – O-Winkels auf 115°<sup>26)</sup>.

\*) Weitere Einzelheiten zur Kristallstrukturuntersuchung können beim Fachinformationszentrum Energie Physik Mathematik, D-7514 Eggenstein-Leopoldshafen, unter Angabe der Hinterlegungsnummer CSD 50016, des Autors und des Zeitschriftenzitats angefordert werden.

Tab. 2. Einige Atomabstände [pm] und Winkel [Grad] in **1a'**, **2b'** (In Klammern Standardabweichungen in Einheiten der letzten Dezimalstelle)Verbindung **1a'**

Abstände		Abstände	
O(1)-P(2)	160.0(5)	Mn(3)-C(10)	184.6(8)
P(2)-Mn(3)	225.2(2)	Mn(3)-C(11)	182.8(8)
Mn(3)-C(4)	218.7(7)	Mn(3)-C(12)	183.4(8)
C(4)-C(5)	153.8(10)	C(9)-O(9)	114.7(11)
C(5)-C(6)	151.2(9)	C(10)-O(10)	111.4(10)
C(6)-O(1)	143.4(11)	C(11)-O(11)	112.9(10)
P(2)-C(13)	181.5(8)	C(12)-O(12)	113.5(10)
P(2)-C(19)	183.2(6)	C(5)-C(7)	151.5(12)
Mn(3)-C(9)	179.3(9)	C(5)-C(8)	153.2(14)

Winkel		Winkel	
C(6)-O(1)-P(2)	121.5(5)	C(9)-Mn(3)-C(11)	90.5(4)
O(1)-P(2)-Mn(3)	116.3(2)	C(9)-Mn(3)-C(12)	96.1(4)
O(1)-P(2)-C(13)	100.0(3)	C(10)-Mn(3)-C(11)	91.0(3)
O(1)-P(2)-C(19)	101.0(3)	C(10)-Mn(3)-C(12)	167.7(3)
Mn(3)-P(2)-C(13)	117.0(2)	C(11)-Mn(3)-C(12)	90.8(3)
Mn(3)-P(2)-C(19)	116.6(2)	Mn(3)-C(9)-O(9)	175.7(7)
C(13)-P(2)-C(19)	103.2(3)	Mn(3)-C(10)-O(10)	178.7(8)
P(2)-Mn(3)-C(4)	93.1(2)	Mn(3)-C(11)-O(11)	178.3(7)
P(2)-Mn(3)-C(9)	93.0(3)	Mn(3)-C(12)-O(12)	175.8(8)
P(2)-Mn(3)-C(10)	89.7(2)	Mn(3)-C(4)-C(5)	122.0(5)
P(2)-Mn(3)-C(11)	176.3(3)	C(4)-C(5)-C(6)	112.1(6)
P(2)-Mn(3)-C(12)	87.7(3)	C(4)-C(5)-C(7)	113.2(6)
C(4)-Mn(3)-C(9)	173.9(3)	C(4)-C(5)-C(8)	107.4(7)
C(4)-Mn(3)-C(10)	84.5(3)	C(6)-C(5)-C(7)	109.2(7)
C(4)-Mn(3)-C(11)	83.3(3)	C(6)-C(5)-C(8)	104.8(6)
C(4)-Mn(3)-C(12)	83.7(3)	C(7)-C(5)-C(8)	109.8(8)
C(9)-Mn(3)-C(10)	96.0(4)	C(5)-C(6)-O(1)	114.0(7)

Verbindung **2b'**

Abstände	$\text{A}$		$\text{B}$		Abstände	$\text{A}$		$\text{B}$	
O(1)-P(2)	161.3(15)	161.9(15)	Re(3)-C(10)	201.0(23)	210.2(30)				
P(2)-Re(3)	240.8(5)	242.7(6)	Re(3)-C(11)	196.7(23)	194.7(29)				
Re(3)-S(4)	249.7(5)	248.3(5)	C(8)-O(8)	115.0(25)	107.5(27)				
S(4)-C(5)	178.8(23)	182.6(24)	C(9)-O(9)	109.6(35)	113.0(34)				
C(5)-C(6)	157.7(36)	154.2(27)	C(10)-O(10)	114.3(29)	107.4(36)				
C(6)-C(7)	153.4(31)	155.4(29)	C(11)-O(11)	112.1(28)	115.4(34)				
C(7)-O(1)	148.9(24)	141.2(25)	S(4)-O(2)	146.8(17)	146.2(17)				
P(2)-C(12)	184.9(22)	180.4(25)	S(4)-O(3)	148.3(18)	148.9(16)				
P(2)-C(18)	184.1(22)	184.7(20)	C(6)-C(24)	153.3(31)	152.1(32)				
Re(3)-C(8)	198.5(20)	203.7(21)	C(6)-C(25)	154.0(31)	154.1(35)				
Re(3)-C(9)	205.5(30)	201.8(27)							

Winkel	$\text{A}$		$\text{B}$		Winkel	$\text{A}$		$\text{B}$	
C(7)-O(1)-P(2)	120.4(12)	121.5(15)	C(9)-Re(3)-C(11)	91.8(11)	93.2(12)				
O(1)-P(2)-Re(3)	117.1(5)	116.5(5)	C(10)-Re(3)-C(11)	93.0(10)	93.3(12)				
O(1)-P(2)-C(12)	98.5(9)	100.6(10)	Re(3)-C(8)-O(8)	177.7(19)	175.9(21)				
O(1)-P(2)-C(18)	103.1(9)	102.3(8)	Re(3)-C(9)-O(9)	173.3(24)	175.4(20)				
Re(3)-P(2)-C(12)	116.7(7)	113.8(7)	Re(3)-C(10)-O(10)	178.0(19)	174.0(21)				
Re(3)-P(2)-C(18)	116.2(6)	118.6(8)	Re(3)-C(11)-O(11)	176.6(24)	175.5(26)				
C(12)-P(2)-C(18)	102.6(9)	102.6(10)	Re(3)-S(4)-C(5)	114.8(7)	115.9(6)				
P(2)-Re(3)-S(4)	96.9(2)	96.9(2)	Re(3)-S(4)-O(2)	112.0(7)	111.2(7)				
P(2)-Re(3)-C(8)	177.5(6)	178.7(7)	Re(3)-S(4)-O(3)	105.6(7)	107.3(7)				
P(2)-Re(3)-C(9)	85.8(7)	91.3(6)	C(5)-S(4)-O(2)	106.7(11)	106.5(10)				
P(2)-Re(3)-C(10)	88.7(6)	85.8(6)	C(5)-S(4)-O(3)	102.6(10)	101.2(10)				
P(2)-Re(3)-C(11)	91.3(7)	90.6(9)	O(2)-S(4)-O(3)	115.0(9)	114.6(9)				
S(4)-Re(3)-C(8)	84.2(6)	83.6(6)	S(4)-C(5)-C(6)	120.5(17)	118.4(17)				
S(4)-Re(3)-C(9)	89.7(8)	86.5(7)	C(5)-C(6)-C(7)	110.2(19)	111.0(16)				
S(4)-Re(3)-C(10)	86.3(6)	87.4(7)	C(5)-C(6)-C(24)	110.2(18)	110.3(17)				
S(4)-Re(3)-C(11)	171.8(8)	172.5(9)	C(5)-C(6)-C(25)	108.2(25)	107.1(18)				
C(8)-Re(3)-C(9)	92.0(10)	89.9(9)	C(7)-C(6)-C(24)	109.2(19)	109.6(19)				
C(8)-Re(3)-C(10)	93.6(9)	93.0(9)	C(7)-C(6)-C(25)	110.5(17)	109.3(16)				
C(8)-Re(3)-C(11)	87.6(9)	88.9(11)	C(24)-C(6)-C(25)	108.5(19)	109.5(18)				
C(9)-Re(3)-C(10)	172.7(10)	172.9(10)	C(6)-C(7)-O(1)	108.2(17)	110.3(18)				

In **1a'** und **2b'** sind die *trans*-ständigen CO-Moleküle zum betreffenden Heterocyclus hin abgewinkelt. Im Gegensatz zu den Koordinationstetraedern der beiden quartären C-Atome findet man bei den Polyedern der Mangan-, Rhenium- und Phosphoratome eine deutliche Verzerrung. Dies gilt insbesondere für diejenigen Winkel am Phosphor, an denen das Metall beteiligt ist. Die erhebliche Aufweitung des Tetraederwinkels am C(4)-Atom in **1a'** ( $122.0^\circ$ ) wird durch die stereochemisch anspruchsvollen  $\text{Mn}(\text{CO})_4$ - und  $\text{C}(\text{CH}_3)_2$ -Gruppierungen bedingt. Alle übrigen Bindungslängen und -winkel besitzen die für diese Strukturen erwarteten Werte<sup>27–29</sup>.

Der Deutschen Forschungsgemeinschaft und dem Verband der Chemischen Industrie, Fonds der Chemischen Industrie, danken wir für die finanzielle Unterstützung dieser Untersuchungen. Außerdem sind wir der BASF-Aktiengesellschaft, der Schering AG und der Degussa für die Überlassung von wertvollem Ausgangsmaterial zu Dank verpflichtet.

## Experimenteller Teil

Die Darstellung der Metallacycloalkane erfolgte unter strengstem Ausschluß von Luftsauerstoff und -feuchtigkeit in einer sorgfältig gereinigten Argonatmosphäre. Als hochwirksamer Absorber für die Reinigung des Schutzgases diente eine Chrom(II)-Oberflächenverbindung auf Kieselgel<sup>30</sup>. Alle übrigen Arbeitsschritte sind in einer gereinigten Stickstoffatmosphäre durchgeführt worden. Sämtliche Lösungsmittel waren getrocknet (vor jedem Reaktionsschritt frisch destilliert) und  $\text{N}_2$ -gesättigt.

IR-Spektren: Beckman IR 12; Spektrometer IFS 113c der Fa. Bruker. – Massenspektren: Varian MAT 711 A. –  $^1\text{H}$ - und  $^{31}\text{P}[^1\text{H}]$ -NMR-Spektren: Bruker WP 80 (Meßfrequenz 80 bzw. 32.39 MHz; int. Standard TMS bzw. ext. Standard 85proz. Phosphorsäure/ $\text{D}_2\text{O}$ ). – Mikroelementaranalysen: Anlage der Fa. Carlo Erba, Modell 1104. – Einkristallstrukturen: Automatisches Einkristalldiffraktometer CAD-4 der Fa. Enraf-Nonius (Graphitmonochromator, monochromatische  $\text{Mo}-K_\alpha$ -Strahlung,  $\omega/2\Theta$ -Registrierung).

1) *3,3,3,3-Tetracarbonyl-2,2,5,5-tetramethyl-1-oxa-2-phospha-3-manganacyclohexan* (**1a**): Eine Lösung von  $[(\text{OC})_4\text{MnP}(\text{CH}_3)_2\text{O}]^{2-}$ , welche durch Reduktion von 360 mg (1.11 mmol)  $(\text{OC})_4\text{BrMnP}(\text{CH}_3)_2\text{OH}$  in 50 ml Dimethoxyethan (DME) gemäß Lit.<sup>2)</sup> dargestellt wurde, wird bei  $20^\circ\text{C}$  zu einer solchen von 408 mg (1.11 mmol)  $(\text{CF}_3\text{SO}_2\text{OCH}_2)_2\text{C}(\text{CH}_3)_2$  in 30 ml DME getropft. Nach 4 h bei  $40^\circ\text{C}$  wird das Solvens i. Vak. entfernt und der Rückstand dreimal mit 20 ml *n*-Hexan extrahiert. Die *n*-Hexan-Lösung wird filtriert (D3) und das Lösungsmittel i. Vak. abgezogen. Anschließende Destillation des orangefarbenen Öls i. Hochvak. liefert farbloses **1a**. Ausb. 190 mg (54%). – MS (70 eV):  $m/e = 314$  (12%,  $\text{M}^+$ ). –  $^1\text{H-NMR}$  ( $\text{C}_6\text{D}_6$ ):  $\delta = 3.17$  (d,  $J = 17.0$  Hz; P – O – CH<sub>2</sub>); 1.27 (d,  $J = 6.8$  Hz; P(CH<sub>3</sub>)<sub>2</sub>); 0.89 (d,  $J = 2.5$  Hz; P – Mn – CH<sub>2</sub>); 0.86 (s, C(CH<sub>3</sub>)<sub>2</sub>). –  $^{31}\text{P}[^1\text{H}]$ -NMR (THF):  $\delta = 161.3$  (s).

$\text{C}_{11}\text{H}_{16}\text{MnO}_5\text{P}$  (314.1) Ber. C 42.05 H 5.13 Mn 17.49 Gef. C 42.65 H 5.38 Mn 17.13

### Allgemeine Vorschrift für die Darstellung der Insertionsprodukte **2a'**, **2b'**

Bei  $-40^\circ\text{C}$  läßt man 0.3 – 0.5 mmol **1a'**, **1b'** 1 h in 10 – 20 ml flüss.  $\text{SO}_2$  reagieren. Nach Abdampfen des Solvens erhält man **2a'**, **2b'** quantitativ und analysenrein.

2) *3,3,3,3-Tetracarbonyl-6,6-dimethyl-2,2-diphenyl-1-oxa-4-thia-2-phospha-3-manganacycloheptan-S,S-dioxid* (**2a'**): Einwaage 210 mg (0.48 mmol) **1a'**<sup>5)</sup> und 20 ml  $\text{SO}_2$ . Ausb. 240 mg (100%). Zers.-P.  $102^\circ\text{C}$ . – MS (Felddesorption, 8 kV):  $m/e = 502$  ( $\text{M}^+$ ). –  $^1\text{H-NMR}$  ( $\text{CDCl}_3$ ):

$\delta = 4.09$  (d,  $J = 13.7$  Hz; P – O – CH<sub>2</sub>); 2.70 (s, MnSO<sub>2</sub>CH<sub>2</sub>); 1.26 (s, C(CH<sub>3</sub>)<sub>2</sub>). – <sup>31</sup>P{<sup>1</sup>H}-NMR (THF):  $\delta = 164.8$  (s).

C<sub>21</sub>H<sub>20</sub>MnO<sub>7</sub>PS (502.3) Ber. C 50.21 H 4.01 Mn 10.94 S 6.38  
Gef. C 50.02 H 4.11 Mn 10.62 S 6.37

3) *3,3,3,3-Tetracarbonyl-6,6-dimethyl-2,2-diphenyl-1-oxa-4-thia-2-phospho-3-rhenacycloheptan-S,S-dioxide (2b')*: Einwaage 216 mg (0.38 mmol) **1b'**<sup>1)</sup> und 10 ml SO<sub>2</sub>. Ausb. 226 mg (94%). Schmp. 132 °C. – MS (Felddesorption, 8 kV):  $m/e = 634$  (M<sup>+</sup>, bez. auf <sup>187</sup>Re). – <sup>1</sup>H-NMR (C<sub>6</sub>D<sub>6</sub>):  $\delta = 3.81$  (d,  $J = 13.9$  Hz; P – O – CH<sub>2</sub>); 3.05 (d,  $J = 2.0$  Hz; P – Re – S – CH<sub>2</sub>); 0.99 (s, C(CH<sub>3</sub>)<sub>2</sub>). – <sup>31</sup>P{<sup>1</sup>H}-NMR (THF):  $\delta = 95.8$  (s).

C<sub>21</sub>H<sub>20</sub>O<sub>7</sub>PReS (633.2) Ber. C 39.79 H 3.16 Re 29.41 S 5.05  
Gef. C 39.58 H 2.94 Re 29.84 S 4.87

4) *Darstellung des Adduktes 3b'*: Eine Lösung von 56 mg (0.21 mmol) AlBr<sub>3</sub> in 3 ml Toluol wird bei 0 °C zu einer äquimolaren Menge von 120 mg **1b'**<sup>1)</sup>, gelöst in 10 ml Toluol, getropft. Die Reaktion wird IR-spektroskopisch verfolgt. Nach 30 min Röhren entfernt man das Solvens i. Hochvak. und wäscht zweimal mit je 3 ml *n*-Hexan, wobei **3b'** analysenrein anfällt. Ausb. 127 mg (72%). Schmp. 112 °C. – MS (70 eV):  $m/e = 840$  (4.7%, M<sup>+</sup>, bez. auf <sup>187</sup>Re und <sup>81</sup>Br).

C<sub>21</sub>H<sub>20</sub>AlBr<sub>3</sub>O<sub>5</sub>PRe (835.9) Ber. C 30.15 H 2.39 Br 28.67 Gef. C 29.88 H 2.17 Br 29.09

5) *3,3,3,3-Tetracarbonyl-6,6-dimethyl-2,2-diphenyl-1-oxa-2-phospho-3-rhena-4-cycloheptanon (4b')*: Durch eine Lösung von 268 mg (0.32 mmol) **3b'** in 10 ml CHCl<sub>3</sub> wird bei –10 °C 1 h CO geleitet. Die anschließende Hydrolyse mit 0.05 ml Wasser ist schon nach wenigen Minuten beendet. Nach dem Trocknen über Na<sub>2</sub>SO<sub>4</sub> (20 min) wird filtriert (D4), das Solvens i. Hochvak. entfernt und der Rückstand dreimal mit 3 ml *n*-Hexan gewaschen. Hierbei erhält man das ringerweiterte, analysenreine Insertionsprodukt **4b'**. Ausb. 86 mg (45%). Schmp. 96 °C. – MS (Felddesorption, 8 kV):  $m/e = 598$  (M<sup>+</sup>, bez. auf <sup>187</sup>Re).

C<sub>22</sub>H<sub>20</sub>O<sub>6</sub>PRe (597.2) Ber. C 44.21 H 3.35 Re 31.18 Gef. C 43.73 H 3.57 Re 30.49

6) *Decarbonylierung von 4b'*: Läßt man **4b'** bei 20 °C in CHCl<sub>3</sub>-Lösung stehen oder behandelt man es säulenchromatographisch (l = 0.2 m, Ø = 25 mm, Kieselgel, Akt. 0, Elutionsmittel: CHCl<sub>3</sub>), tritt CO-Verlust unter Rückbildung von **1b'** ein.

*Nachweis von 1b'*: MS (70 eV):  $m/e = 570$  (79%, M<sup>+</sup>, bez. auf <sup>187</sup>Re). – IR (*n*-Hexan): 2082 m, 2001 st, 1984 sst, 1943 cm<sup>–1</sup> sst (C≡O) [Lit.<sup>1)</sup> (*n*-Hexan): 2082 m, 2001 st, 1984 sst, 1943 cm<sup>–1</sup> sst].

7) *Kristallstrukturen von 1a', 2b'*: Die durch Umkristallisieren aus *n*-Heptan (**1a'**) und Chloroform/*n*-Heptan (**2b'**) erhaltenen Verbindungen kristallisieren in der triklinen Raumgruppe  $P\bar{1}$ . Für die Strukturbestimmungen wurden Kristalle mit den ungefähren Abmessungen 0.3 × 0.2 × 0.1 mm (**1a'**) bzw. 0.4 × 0.2 × 0.2 mm (**2b'**) in je ein Markröhrchen abgefüllt. Die Gitterkonstanten betragen für **1a'**:  $a = 825.8$  (4),  $b = 967.3$  (3),  $c = 1352.1$  (5) pm,  $\alpha = 92.32$  (3)°,  $\beta = 97.89$  (4)°,  $\gamma = 107.08$  (4)°,  $Z = 2$ ,  $d_{ber.} = 1.429$  g/cm<sup>3</sup>,  $V = 1.019 \cdot 10^9$  pm<sup>3</sup> und für **2b'**:  $a = 993.9$  (5),  $b = 1536.3$  (8),  $c = 1551.7$  (7) pm,  $\alpha = 91.86$  (4)°,  $\beta = 105.24$  (4)°,  $\gamma = 90.16$  (4)°,  $Z = 4$ ,  $d_{ber.} = 1.842$  g/cm<sup>3</sup>,  $V = 2.285 \cdot 10^9$  pm<sup>3</sup>.

Zur Auswertung der Strukturen wurden die Intensitäten von 2424 bzw. 5600 symmetrieeunabhängigen Reflexen mit  $I \geq 3\sigma(I)$  bis zu  $\Theta$ -Werten von 25° (**1a'**) bzw. 23° (**2b'**) registriert. Ihre Lösung gelang mit den direkten Methoden und nachfolgenden Verfeinerungscyclen nach der Methode der kleinsten Fehlerquadrate<sup>31)</sup>, wobei zunächst die Metall- und Phosphor- sowie bei **2b'** auch die Schwefelatome gefunden wurden. Die Lage der übrigen Atome wurde durch Differenz-Fourier-Synthesen ermittelt. Die Strukturen von **1a'** und **2b'** wurden mit anisotropen Temperaturparametern (H isotrop) und Einheitsgewichten bis zu  $R = 0.069$  (**1a'**) bzw. 0.084 (**2b'**) verfei-

Tab. 3. Ortskoordinaten (in Einheiten der Elementarzelle) und Temperaturparameter (in pm<sup>2</sup>) von **1a'** und **2b'**. Der Temperaturfaktor ist gegeben durch den Ausdruck:  
 $T = \exp[-2\pi^2(U_{11}h^2a^*{}^2 + U_{22}k^2b^*{}^2 + U_{33}l^2c^*{}^2 + 2U_{23}klb^*c^* + 2U_{13}hla^*c^* + 2U_{12}hka^*b^*)]$ .  
 In Klammern Standardabweichungen in Einheiten der letzten Dezimalstelle

Atom	x/a	y/b	z/c	U <sub>11</sub>	U <sub>22</sub>	U <sub>33</sub>	U <sub>23</sub>	U <sub>13</sub>	U <sub>12</sub>
<b>Verbindung 1a'</b>									
O(1)	0.6546(6)	0.7713(5)	0.3788(3)	338(25)	572(31)	306(24)	90(22)	86(19)	90(22)
P(2)	0.6737(2)	0.7852(2)	0.2631(11)	305(9)	381(10)	317(9)	27(7)	46(7)	113(7)
Mn(3)	0.4406(1)	0.7966(1)	0.1597(1)	356(6)	363(6)	321(5)	46(4)	23(4)	129(4)
C(4)	0.2810(9)	0.7637(8)	0.2783(5)	320(37)	376(39)	390(38)	-1(30)	89(30)	69(32)
C(5)	0.3457(9)	0.7279(8)	0.3834(5)	348(37)	496(43)	361(37)	-6(31)	100(30)	45(32)
C(6)	0.5284(10)	0.8188(11)	0.4215(6)	394(43)	712(62)	336(42)	-79(39)	81(33)	163(40)
C(7)	0.3317(13)	0.5688(10)	0.3891(7)	591(59)	521(53)	573(56)	120(44)	14(47)	57(45)
C(8)	0.2390(12)	0.7725(15)	0.4558(8)	334(49)	1114(93)	595(62)	15(59)	216(43)	154(52)
C(9)	0.5521(10)	0.8261(9)	0.0540(6)	438(44)	597(51)	490(47)	125(39)	1(37)	158(38)
C(10)	0.3660(10)	0.5966(8)	0.1395(5)	518(45)	479(47)	287(36)	-49(32)	5(31)	153(37)
C(11)	0.2453(10)	0.8080(8)	0.0829(5)	568(48)	494(45)	328(37)	40(32)	68(35)	249(37)
C(12)	0.4970(10)	0.9885(9)	0.2054(6)	496(46)	491(49)	552(47)	111(38)	93(37)	221(39)
O(9)	0.6137(8)	0.8439(8)	-0.0174(4)	768(44)	1150(56)	496(36)	333(36)	226(33)	322(40)
O(10)	0.3186(8)	0.4759(6)	0.1282(5)	850(46)	435(35)	743(42)	-133(30)	-85(34)	124(32)
O(11)	0.1254(7)	0.8128(7)	0.0337(4)	542(35)	890(45)	526(33)	10(30)	-102(28)	332(32)
O(12)	0.5295(8)	1.1045(6)	0.2391(5)	761(44)	409(35)	1008(51)	-2(33)	38(36)	180(31)
C(13)	0.7519(8)	0.6322(7)	0.2392(5)	278(34)	341(36)	395(37)	60(29)	18(28)	78(28)
C(14)	0.7803(10)	0.5426(9)	0.3119(7)	534(49)	468(47)	584(52)	155(40)	109(40)	205(38)
C(15)	0.8372(12)	0.4258(10)	0.2901(8)	720(62)	537(54)	790(68)	383(51)	102(51)	259(46)
C(16)	0.8685(12)	0.3982(10)	0.1963(8)	590(56)	438(50)	863(73)	-31(48)	-13(50)	239(43)
C(17)	0.8435(12)	0.4859(10)	0.1250(7)	663(57)	563(54)	480(52)	-139(43)	-66(43)	275(45)
C(18)	0.7838(10)	0.6013(9)	0.1446(6)	501(47)	589(51)	490(47)	61(40)	-50(37)	296(40)
C(19)	0.8667(8)	0.9415(7)	0.2724(5)	318(36)	411(39)	412(38)	72(30)	76(30)	161(30)
C(20)	0.9390(10)	1.0224(9)	0.3623(6)	492(46)	579(50)	356(41)	7(36)	90(35)	204(39)
C(21)	1.0841(11)	1.1392(9)	0.3699(7)	506(48)	390(44)	593(53)	-69(39)	-47(41)	-23(37)
C(22)	1.1617(11)	1.1753(9)	0.2882(8)	374(44)	390(46)	905(70)	110(45)	24(45)	30(36)
C(23)	1.0903(10)	1.0977(9)	0.1978(7)	421(46)	497(49)	679(58)	118(43)	179(43)	75(38)
C(24)	0.9431(10)	0.9830(9)	0.1895(6)	450(45)	445(45)	482(46)	-35(38)	108(37)	72(35)

### Verbindung 2b', Molekül A

O(1)	0.2884(15)	0.6853(8)	0.2754(9)	444(89)	209(71)	402(84)	-17(62)	122(70)	109(63)
P(2)	0.3676(6)	0.6025(3)	0.2465(4)	316(30)	287(28)	295(28)	37(23)	124(24)	43(23)
Re(3)	0.3022(1)	0.5570(1)	0.0910(1)	287(5)	267(5)	294(5)	36(3)	143(4)	19(3)
S(4)	0.1220(6)	0.6699(4)	0.0397(4)	380(31)	379(30)	337(29)	70(24)	136(25)	53(24)
C(5)	0.1426(24)	0.7662(15)	0.1100(15)	316(136)	512(145)	397(130)	58(111)	120(109)	86(111)
C(6)	0.0876(23)	0.7689(15)	0.1964(15)	371(130)	422(134)	445(136)	90(108)	83(108)	132(105)
C(7)	0.1341(20)	0.6877(14)	0.2509(15)	238(109)	425(136)	454(134)	139(111)	245(100)	190(98)
C(8)	0.2454(22)	0.5144(13)	-0.0357(15)	413(128)	239(109)	384(130)	-55(94)	277(104)	24(93)
C(9)	0.1567(29)	0.4795(18)	0.1235(18)	351(69)					
C(10)	0.4386(24)	0.6444(14)	0.0694(15)	533(142)	139(112)	487(132)	-19(97)	116(111)	216(107)
C(11)	0.4397(27)	0.4634(15)	0.1132(17)	615(156)	351(132)	647(168)	177(120)	449(133)	106(123)
O(8)	0.2172(17)	0.4898(11)	-0.1091(10)	568(107)	544(102)	342(98)	-40(80)	213(80)	-44(81)
O(9)	0.0749(17)	0.4450(11)	0.1447(12)	406(98)	534(101)	689(116)	138(87)	241(88)	-96(81)
O(10)	0.5180(18)	0.6945(11)	0.0597(12)	544(108)	438(101)	734(124)	26(89)	279(95)	-107(89)
O(11)	0.5202(17)	0.4113(11)	0.1223(11)	523(100)	295(100)	651(97)	39(78)	322(79)	98(85)
C(12)	0.5482(23)	0.6418(14)	0.2928(13)	453(134)	402(133)	248(109)	97(96)	191(99)	-26(104)
C(13)	0.5720(21)	0.7239(13)	0.3312(15)	303(11)	309(118)	430(129)	-5(99)	166(100)	-20(92)
C(14)	0.7117(24)	0.7524(15)	0.3687(17)	405(140)	434(138)	621(161)	-30(119)	261(122)	-63(110)
C(15)	0.8226(24)	0.6962(16)	0.3620(15)	419(138)	539(154)	373(128)	39(112)	209(110)	-113(115)
C(16)	0.7925(24)	0.6145(15)	0.3192(18)	384(139)	310(127)	752(177)	134(121)	225(125)	85(104)
C(17)	0.6569(23)	0.5857(15)	0.2828(17)	342(133)	372(131)	706(171)	120(120)	214(122)	85(105)
C(18)	0.3494(19)	0.5199(14)	0.3262(14)	166(103)	430(129)	335(118)	87(97)	93(89)	-61(89)
C(19)	0.3267(26)	0.5468(18)	0.4072(15)	545(156)	779(185)	260(124)	167(122)	164(113)	181(135)
C(20)	0.3216(26)	0.4821(21)	0.4701(17)	408(148)	946(228)	434(151)	213(149)	150(120)	183(143)
C(21)	0.3352(26)	0.3961(17)	0.4479(19)	490(156)	501(159)	677(183)	306(137)	193(135)	97(123)
C(22)	0.3572(26)	0.3706(16)	0.3701(18)	485(156)	495(153)	586(172)	181(132)	155(133)	-18(120)
C(23)	0.3678(23)	0.4304(14)	0.3065(16)	336(128)	306(121)	588(151)	170(109)	78(112)	4(97)
C(24)	-0.0712(23)	0.7729(17)	0.1706(16)	398(131)	582(172)	437(142)	79(128)	227(113)	226(121)
C(25)	0.1458(24)	0.8519(15)	0.2520(17)	347(137)	521(144)	605(161)	87(122)	202(121)	191(111)
O(2)	-0.0186(16)	0.6362(11)	0.0314(10)	369(92)	576(105)	428(94)	-78(79)	81(75)	52(78)
O(3)	0.1462(17)	0.7026(11)	-0.0439(10)	513(101)	546(104)	359(87)	167(77)	202(77)	227(82)

Tab. 3 (Fortsetzung)

## Verbindung 2b', Molekül B

Atom	x/a	y/b	z/c	$U_{11}$	$U_{22}$	$U_{33}$	$U_{23}$	$U_{13}$	$U_{12}$
O(1)	0.2987(15)	0.7746(9)	0.7512(10)	379(86)	209(75)	507(93)	75(68)	167(73)	-35(63)
P(2)	0.3760(6)	0.8648(3)	0.7405(4)	329(30)	274(29)	358(30)	62(24)	102(25)	2(23)
Re(3)	0.3012(11)	0.9322(1)	0.5967(1)	307(5)	234(4)	352(5)	70(4)	134(4)	50(3)
S(4)	0.1080(6)	0.8288(3)	0.5289(4)	395(32)	290(28)	380(30)	83(23)	115(25)	40(23)
C(5)	0.0407(22)	0.7671(13)	0.6073(14)	341(123)	308(116)	344(123)	69(98)	100(100)	14(94)
C(6)	0.1201(22)	0.6860(12)	0.6480(14)	375(122)	180(102)	379(120)	70(89)	104(98)	-9(88)
C(7)	0.2775(22)	0.7067(14)	0.6854(14)	424(130)	327(120)	355(123)	84(99)	116(103)	123(99)
C(8)	0.2368(23)	0.9912(15)	0.4775(15)	354(129)	508(143)	305(125)	246(114)	-74(100)	-22(107)
C(9)	0.4223(30)	0.8526(15)	0.5446(15)	926(191)	347(134)	287(123)	89(104)	247(127)	63(133)
C(10)	0.1608(34)	1.0013(15)	0.6522(16)	1089(233)	322(132)	293(128)	114(104)	141(144)	207(142)
C(11)	0.4461(31)	1.0209(20)	0.6349(20)	417(77)					
O(8)	0.2105(17)	1.0227(12)	0.4144(11)	470(105)	652(117)	463(106)	329(94)	59(84)	65(87)
O(9)	0.4973(20)	0.8111(12)	0.5185(13)	695(126)	589(116)	751(131)	129(99)	479(112)	234(99)
O(10)	0.0908(19)	1.0316(12)	0.6858(12)	589(117)	679(125)	605(118)	5(98)	322(100)	269(97)
O(11)	0.5299(19)	1.0751(11)	0.6520(14)	453(111)	406(96)	1059(156)	85(98)	23(105)	-136(84)
C(12)	0.3426(23)	0.9297(15)	0.8317(16)	315(123)	368(134)	482(141)	-84(110)	-61(107)	131(102)
C(13)	0.3969(25)	1.0118(15)	0.8532(15)	497(146)	401(137)	361(131)	-58(106)	39(110)	41(111)
C(14)	0.3687(30)	1.0636(19)	0.9203(19)	684(192)	638(187)	596(178)	24(148)	276(153)	177(151)
C(15)	0.2838(30)	1.0287(19)	0.9706(18)	706(189)	636(189)	527(162)	35(139)	210(145)	295(153)
C(16)	0.2270(36)	0.9476(18)	0.9510(19)	1137(264)	532(177)	613(187)	-38(145)	583(189)	-24(170)
C(17)	0.2549(29)	0.8951(16)	0.8822(17)	758(188)	483(151)	532(156)	155(125)	375(144)	128(134)
C(18)	0.5609(21)	0.8370(13)	0.7831(15)	285(114)	257(110)	454(130)	-93(98)	60(99)	33(89)
C(19)	0.6614(25)	0.8722(16)	0.7469(17)	466(149)	470(148)	548(152)	122(121)	196(123)	45(117)
C(20)	0.8047(26)	0.8505(19)	0.7847(18)	397(151)	843(198)	530(164)	149(148)	133(128)	107(137)
C(21)	0.8403(26)	0.7947(19)	0.8541(18)	361(144)	800(195)	590(171)	99(148)	142(127)	100(133)
C(22)	0.7366(25)	0.7588(16)	0.8920(19)	351(140)	500(152)	714(182)	132(133)	65(129)	91(116)
C(23)	0.5951(24)	0.7808(13)	0.8524(14)	535(143)	197(105)	387(125)	33(94)	92(108)	196(98)
C(24)	0.0994(24)	0.6120(17)	0.5783(17)	575(180)	543(162)	552(160)	36(130)	113(137)	49(134)
C(25)	0.0600(24)	0.6594(15)	0.7253(15)	447(146)	389(132)	459(137)	196(112)	171(115)	-69(110)
O(2)	0.1485(17)	0.7648(9)	0.4690(10)	593(105)	336(86)	394(89)	-74(70)	144(79)	-50(75)
O(3)	-0.0149(17)	0.8815(11)	0.4860(11)	479(101)	467(100)	574(103)	177(81)	127(82)	169(80)

nert. Die Strukturfaktoren wurden mit den Atomformfaktoren für neutrale Atome<sup>32)</sup> und den in Tab. 3 angegebenen Atomparametern berechnet. Listen mit den beobachteten ( $F_o$ ) und berechneten ( $F_c$ ) Strukturfaktoren können bei den Autoren angefordert werden.

- <sup>1)</sup> VII. Mitteil.: E. Lindner und G. von Au, Z. Naturforsch., Teil B **35**, 1104 (1980).
- <sup>2)</sup> E. Lindner, G. von Au und H.-J. Eberle, Z. Naturforsch., Teil B **33**, 1296 (1978).
- <sup>3)</sup> E. Lindner, G. von Au und H.-J. Eberle, Chem. Ber. **114**, 810 (1981).
- <sup>4)</sup> E. Lindner und H.-J. Eberle, Angew. Chem. **92**, 70 (1980); Angew. Chem., Int. Ed. Engl. **19**, 73 (1980).
- <sup>5)</sup> E. Lindner und H.-J. Eberle, J. Organomet. Chem. **191**, 143 (1980).
- <sup>6)</sup> E. Lindner, H.-J. Eberle und S. Hoehne, Chem. Ber. **114**, 413 (1981).
- <sup>7)</sup> E. Lindner und G. von Au, Angew. Chem. **92**, 843 (1980); Angew. Chem., Int. Ed. Engl. **19**, 824 (1980).
- <sup>8)</sup> E. Lindner und G. von Au, J. Organomet. Chem. **202**, 163 (1980).
- <sup>9)</sup> G. Vitzthum und E. Lindner, Angew. Chem. **83**, 315 (1971); Angew. Chem., Int. Ed. Engl. **10**, 315 (1971).
- <sup>10)</sup> A. Wojcicki, Adv. Organomet. Chem. **12**, 31 (1974).
- <sup>11)</sup> S. E. Jacobson, P. Reich-Rohrwig und A. Wojcicki, Inorg. Chem. **12**, 717 (1974).
- <sup>12)</sup> R. G. Severson und A. Wojcicki, J. Am. Chem. Soc. **101**, 877 (1979).
- <sup>13)</sup> P. Diversi, G. Ingrosso und A. Lucherini, J. Chem. Soc., Chem. Commun. **1978**, 735.
- <sup>14)</sup> F. Calderazzo, Angew. Chem. **89**, 305 (1977); Angew. Chem., Int. Ed. Engl. **16**, 299 (1977).
- <sup>15)</sup> H. Berke und R. Hoffmann, J. Am. Chem. Soc. **100**, 7224 (1978).
- <sup>16)</sup> R. L. Pruett, Adv. Organomet. Chem. **17**, 1 (1979).
- <sup>17)</sup> R. B. King, A. D. King jr., M. Z. Iqbal und C. C. Frazier, J. Am. Chem. Soc. **100**, 1687 (1978).

- 18) R. J. McKinney und H. D. KAESZ, J. Am. Chem. Soc. **97**, 3066 (1975); B. T. Huie, C. B. Knobler, G. Firestein, R. J. McKinney und H. D. KAESZ, ebenda **99**, 7852 (1977).
- 19) F. A. Hartmann und A. Wojcicki, Inorg. Chem. **7**, 1504 (1968).
- 20) S. B. Butts, E. M. Holt, S. H. Strauss, N. W. Alcock, R. E. Stimson und D. F. Shriver, J. Am. Chem. Soc. **101**, 5864 (1979).
- 21) E. Lindner, G. von Au und H.-J. Eberle, unveröffentlichte Ergebnisse.
- 22) H. M. Seip und R. Seip, Acta Chem. Scand. **24**, 3431 (1970).
- 23) J. L. Atwood, J. K. Newell, W. E. Hunter, I. Bernal, F. Calderazzo, I. P. Mavani und D. Vitali, J. Chem. Soc., Dalton Trans. **1978**, 1189.
- 24) H. Preut und H.-J. Haupt, Acta Crystallogr., Sect. B **36**, 1196 (1980).
- 25) L. Pauling, Die Natur der chemischen Bindung, 3. Aufl., Verlag Chemie, Weinheim/Bergstr. 1968.
- 26) B. Post, R. S. Schwartz und I. Fankuchen, Acta Crystallogr. **5**, 372 (1952).
- 27) S. Hoehne, E. Lindner und B. Schilling, J. Organomet. Chem. **139**, 315 (1977).
- 28) S. Hoehne, H. Lesiecki, H.-D. Ebert, E. Lindner und J. Strähle, Z. Naturforsch., Teil B **32**, 707 (1977).
- 29) W. Fischer, E. Hellner, A. Chatzidakis und K. Dimroth, Tetrahedron Lett. **1968**, 6227.
- 30) H. L. Krauss, Nachr. Chem. Techn. **16**, 260 (1968).
- 31) Programmsystem SHEL-76 von G. Sheldrick, Universität Cambridge 1976; Rechenanlage TR 440 des Zentrums für Datenverarbeitung der Universität Tübingen.
- 32) D. T. Cromer und J. B. Mann, Acta Crystallogr., Sect. A **24**, 321 (1968).

[186/81]